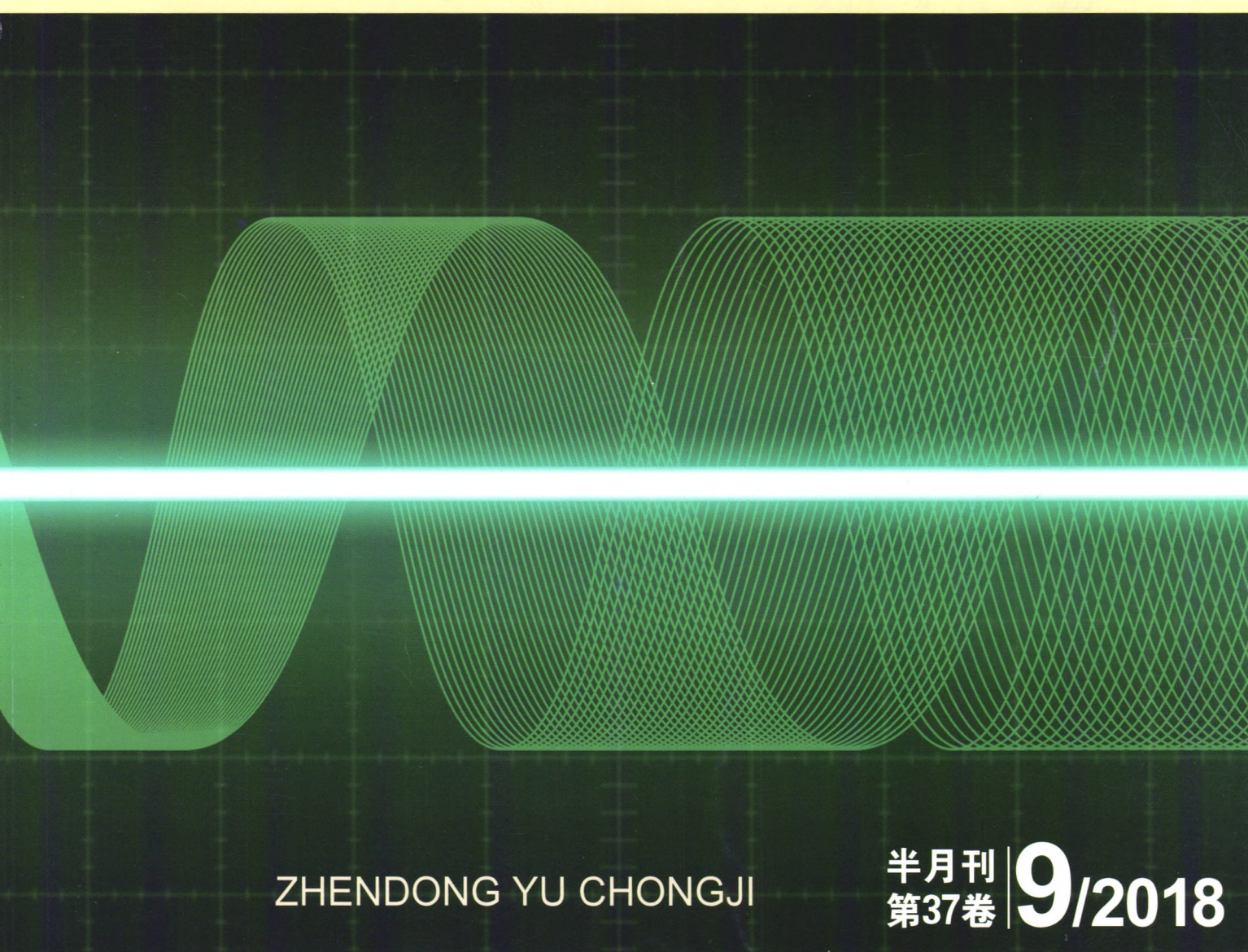


QK1830432

振动与冲击

JOURNAL OF VIBRATION AND SHOCK



ZHENDONG YU CHONGJI

半月刊 | 第37卷 | 9/2018

ISSN 1000-3835



中国振动工程学会
上海交通大学主办
上海市振动工程学会

9 771000 万方数据

目 次

- 单摆式电涡流TMD装置优化设计与模型试验研究 汪志昊, 部辉, 张新中, 等 (1)
- 隧洞开挖过程中掏槽孔起爆位置的优选 高启栋, 卢文波, 冷振东, 等 (8)
- 斜腹板倾角对扁平箱梁颤振性能影响及量化研究 李志国, 王骑, 廖海黎, 等 (17)
- 大跨度桥梁PK箱梁断面颤振性能研究 方根深, 杨詠昕, 葛耀君 (25)
- 旋转型超声电机在冲击环境下的失效模式研究 孙栋, 王新杰, 王灵, 等 (32)
- 表面粗糙度对圆柱体涡激振动响应特性影响数值研究 高云, 杨家栋, 邹丽, 等 (37)
- 考虑参数不确定性的板结构振动响应统计分析 张艾萍, 李亚轩, 肖斌, 等 (44)
- 多工况下多级离心泵水动力噪声数值研究 王凯, 李钰, 刘厚林, 等 (50)
- 剪式单元阵列可展结构的动力学分析方法 彭麒安, 王三民, 智常建, 等 (56)
- 路基压实粉质黏土动态回弹模量的四参数预估模型及有限元实现 董城, 刘文劫, 李亮 (61)
- 非线性阻尼非线性刚度隔振系统参数识别 胡广深, 陆泽琦, 陈立群 (68)
- 基于节点构形度的单层柱面网壳稳定优化设计 陆明飞, 叶继红 (74)
- 转子系统变刚度动力吸振器试验研究 姚红良, 王童照, 曹焱博, 等 (80)
- 加速度反应谱长周期段下降规律研究 韩小雷, 尤涛, 季静 (86)
- 平行折线绳槽两圈间过渡区布局对提升钢丝绳振动的影响研究 彭霞, 龚宪生, 巫显照, 等 (92)
- 步枪人-枪肌肉骨骼建模及逆向动力学仿真研究 杨洋, 王亚平, 徐诚, 等 (100)
- 不同四塔组合形式对特大型冷却塔局部风压干扰效应影响研究 王浩, 柯世堂 (106)
- 采煤机摇臂动态特性及影响因素分析 张义民, 张睿, 朱丽莎, 等 (114)
- 阀门内漏声波监测及其信号特征提取方法 林伟国, 吴石恩 (120)
- 多轴载重车侧翻模型研究 刘伟, 姜毅, 董晓彤, 等 (127)
- 道路用堆叠式压电俘能单元制备与应用性能 李彦伟, 王朝辉, 石鑫, 等 (133)
万方数据

基于误差考虑的薄膜反射面裁剪布局优化 秦东宾, 杜敬利 (142)

强桁材结构在冲压载荷作用下损伤变形的试验与仿真研究 刘昆, 严力宇, 傅杰, 等 (149)

主跨 420 m 人行悬索桥非线性静风稳定影响参数分析 管青海, 周燕, 李加武, 等 (155)

基于 S 变换的简支梁结构损伤检测方法研究 刘宁, 刘四新, 奚佳欣, 等 (161)

空间刚性梁轨道与姿态耦合动力学问题的辛分析 尹婷婷, 邓子辰, 蒋宪宏 (168)

Volterra 理论在滚动轴承内圈故障程度特征定量提取的研究 王海涛, 王琨, 史丽晨 (173)

基于局域共振声子带隙的扭转减振器设计方法 吴昱东, 李人宪, 丁渭平, 等 (180)

考虑旋转自由度的涡激振动数值模拟研究 康庄, 倪问池 (185)

基于迭代滤波和快速峭度图的滚动轴承微弱故障特征提取 钟先友, 田红亮, 赵春华, 等 (190)

粒子群算法在基于频率的两端固结吊杆索力识别中的应用 李睿, 李晓章, 郑祥隆, 等 (196)

冲击机具凿入过程的能量传递 汪学清, 赵统武 (202)

基于混沌超声波激励的螺栓连接松动检测研究 吴冠男, 徐超 (208)

近场水下爆炸气泡射流载荷冲击船体外板的动响应分析 姜忠涛, 李烨, 庞学佳, 等 (214)

一种改进的 Stewart 平台 Newton-Euler 动力学模型 何兆麒, 薛冬新, 张娟, 等 (221)

可控磁路式永磁悬浮系统的串级控制 孙凤, 周冉, 夏鹏澎, 等 (230)

一种适用于竹林空间的声景协调度评价模型 洪昕晨, 潘明慧, 袁轶男, 等 (234)

反射体对 U 型梁贴附式吸声材料插入损失影响的实验研究 吴波波, 王高沂, 李海霞, 等 (239)

本期广告索引

彩色广告

- 封二 扬州英迈克测控技术有限公司
封三 北京东方振动和噪声技术研究所
封四 北京声望声电技术有限公司
前插1 杭州亿恒科技有限公司
前插2 南京安正软件工程有限公司
前插3 南京安正软件工程有限公司

- 前插4 德国m+p国际公司北京代表处
前插5 PCB压电传感技术(北京)有限公司
前插6 米勒贝姆振动与声学系统(北京)有限公司

彩色广告

- 后插1 杭州锐达数字技术有限公司
后插2 杭州锐达数字技术有限公司

CONTENTS

- Optimization design and model tests for a pendulum eddy-current tuned mass damper WANG Zhihao, GAO Hui, ZHANG Xinzhong, et al (1)
- Optimization of cut-hole's detonating position in tunnel excavation GAO Qidong, LU Wenbo, LENG Zhendong, et al (8)
- Effects of inclined web slope on flutter performance of flat box girders and their quantification LI Zhiguo, WANG Qi, LIAO Haili, et al (17)
- Flutter performance of PK section girders for long-span bridges FANG Genshen, YANG Yongxin, GE Yaojun (25)
- Failure modes for rotary ultrasonic motors under shock environment SUN Dong, WANG Xinjie, WANG Jiong, et al (32)
- Effects of surface roughness on vortex induced vibration features of a circular cylinder GAO Yun, YANG Jiadong, ZOU Li, et al (37)
- Statistical analysis for vibration responses of plate structures considering parametric uncertainty ZHANG Aiping, LI Yaxuan, XIAO Bin, et al (44)
- Numerical simulation for hydrodynamic noise of a multistage centrifugal pump under multi-working condition WANG Kai, LI Yu, LIU Houlin, et al (50)
- Dynamic analysis method for a planar linear array deployable structure with scissor-like elements PENG Qi'an, WANG Sanmin, ZHI Changjian, et al (56)
- Four-parameter prediction model and its FE realization for dynamic resilient modulus of subgrade compacted silty clay DONG Cheng, LIU Wenjie, LI Liang (61)
- Parametric recognition for a vibration isolation system with nonlinear stiffness and nonlinear damping HU Guangshen, LU Zeqi, CHEN Liqun (68)
- Stability optimization design for single-layer cylindrical domes based on joint well-formedness LU Mingfei, YE Jihong (74)
- Tests for a dynamic absorber with tunable stiffness of rotor systems YAO Hongliang, WANG Tongzhao, CAO Yanbo, et al (80)
- Descending law in long-period range for an acceleration response spectrum HAN Xiaolei, YOU Tao, JI Jing (86)
- Effects of transition zone between parallel broken line grooves on vibration of hoisting wire rope PENG Xia, GONG Xiansheng, WU Xianzhao, et al (92)
- Human-rifle musculoskeletal model and its inverse dynamic simulation YANG Yang, WANG Yaping, XU Cheng, et al (100)
- Influences of different four-tower combination forms on super-large cooling towers' local wind pressure interference effect WANG Hao, KE Shitang (106)
- Dynamic characteristics and influence factors of a shearer's rocker arm ZHANG Yimin, ZHANG Rui, ZHU Lisha, et al (114)
- Acoustic monitoring and signal feature extraction for valve internal leakage LIN Weiguo, WU Shien (120)
- Rollover model of multi-axle trucks LIU Wei, JIANG Yi, DONG Xiaotong, et al (127)
- Preparation and application performance of piezoelectric stack harvesting unit in road engineering

| | |
|---|--|
| | LI Yanwei, WANG Chaohui, SHI Xin, et al (133) |
| Cutting layout optimization for electrostatic formed membrane reflector considering shape errors | QIN Dongbin, DU Jingli (142) |
| Tests and simulation for damage deformation of web girders subjected to in-plane impact loads | LIU Kun, YAN Liyu, FU Jie, et al (149) |
| Effects of parameters on nonlinear aerostatic stability of a pedestrian suspension bridge with main span of 420 m | GUAN Qinghai, ZHOU Yan, LI Jiawu, et al (155) |
| Damage detection method for simply supported RC beams based on S transformation | LIU Ning, LIU Sixin, XI Jiaxin, et al (161) |
| Symplectic analysis for orbit-attitude coupled dynamic problem of spatial rigid beams | YIN Tingting, DENG Zichen, JIANG Xianhong (168) |
| Quantitative extraction of rolling bearings' inner race fault level based on Volterra theory | WANG Haitao, WANG Kun, SHI Lichen (173) |
| Design method for torsional vibration dampers based on local resonance photonic crystals band-gap | WU Yudong, LI Renxian, DING Weiping, et al (180) |
| Numerical simulation of vortex induced vibration considering rotational-DOF | KANG Zhuang, NI Wenchi (185) |
| Fault feature extraction for rolling bearings' weak faults based on iterative filtering and fast kurtogram | ZHONG Xianyou, TIAN Hongliang, ZHAO Chunhua, et al (190) |
| Application of PSO in frequency-based tension identification of hanger rods with two fixed ends | LI Rui, LI Xiaozhang, ZHENG Xianglong, et al (196) |
| Energy transmission in penetration process of percussive machines | WANG Xueqing, ZHAO Tongwu (202) |
| Bolt looseness detection based on chaos ultrasonic excitation | WU Guannan, XU Chao (208) |
| Dynamic response of hull plates subjected to near field underwater explosion bubble jet load | JIANG Zhongtao, LI Ye, PANG Xuejia, et al (214) |
| Improved Newton-Euler dynamic models for a Stewart platform | HE Zhaoqi, XUE Dongxin, ZHANG Juan, et al (221) |
| Cascade control of a permanent magnetic suspension system with controllable magnetic circuit | SUN Feng, ZHOU Ran, XIA Pengpeng, et al (230) |
| An evaluation model suitable to bamboo gardens' soundscape coordination degree | HONG Xinchen, PAN Minghui, YUAN Yi'nan, et al (234) |
| Tests for influences of reflector on insertion loss of a U-beam's adhesive sound-absorbing material | WU Bobo, WANG Gaoyi, LI Haixia, et al (239) |

JOURNAL OF VIBRATION AND SHOCK

Vol. 37 No. 9 MAY 2018

Editorial Office: 1954 Huashan Rd. Shanghai, 200030, China

Issuer Abroad: China National Publishing Industry Trading Corporation
(Post-Office Box No. 728, Beijing, China)



传声器及声阵列

BSWA



声望公司生产和销售测量传声器已有15年历史。我们为客户提供1英寸、1/2英寸及1/4英寸的I、II型传声器；应用领域包括自由场、压力场及扩散场；供电方式包括ICCP®预极化0V供电、48V幻象供电及200V供电。

声望公司的传声器性价比优越，稳定性好，客户包括多个国外声级计生产厂商。

声望公司还可按照客户要求，设计和制造传声器阵列。产品包括一字、十字、螺旋及无规则形状阵列。阵列用传声器可选用声望公司专有的MPA201及MPA416阵列传声器，该系列传声器相位匹配度高，适用于高精度阵列测量。



微信二维码

BSWA 声望技术

总部

北京声望声电技术有限公司 地址：北京市西城区裕民路18号 北环中心1002-1003室 邮编：100029
电话：400 060 3060 传真：010-82251626 Email: bswa@bswa.com.cn Website: www.bswa.com.cn

广州办事处

地址：广州市海珠区广州大道南855号敦和商务公寓A栋M03室 电话/传真：020-84217929